

高等学校苏联专家講义

電法勘探

下冊

E.M. 克維亞特柯夫斯基 著

地质出版社

3561

261206

5/4021

T.2

高等学校苏联专家講义

电 法 勘 探

下 册

E·M·克維亞特柯夫斯基 著

地质出版社

1959·北京

本書為蘇聯專家——E. M. 克維亞特柯夫斯基 (Квятковский)
副教授在中國為北京地質學院地球物理探矿教研室教師及研究生講課
用的金屬礦電法勘探講義。

本講義分兩冊出版：上冊專述直流電法；下冊中介紹了交流電法
中的等位綫法、強度法、長導綫法、電位差比法、感應法、陰影法等。
整個講義中總結了現有金屬礦電法勘探的全面成就，是目前在這
方面的最完整的教材，並且理論聯繫實際，可以直接用來指導生產。

本書由北京地質學院翻譯周祥標同志譯出，物探教研室閻殿輝
同志校閱。

高等学校苏联专家講义 电法勘探 下册

著者 E. M. 克維亞特柯夫斯基

譯者 周 祥 标

出版者 地質出版社

北京市西四南大街地質圖內
北京市書刊出版委員會批准出字第050号

發行者 新華書店科技術發行所

經售者 各地新華書店

印刷者 地質出版社印刷厂

北京安樂門外大羊市40号

印數(京) 1—3,100冊 1959年1月北京第1版

開本 787×1092^{1/25} 1959年11月第1次印刷

字數 130,000 印張 6^{4/25}

定價(10) 0.83 元

目 录

緒論	5
第一章 交变电磁場中矿物、岩石和矿石的电性	12
§ 1. 矿物的电阻率和介电常数	14
§ 2. 岩石和矿石的电阻率和介电常数	17
第二章 交流电的等位綫法	27
§ 3. 方法的數理基础	27
§ 4. 交流电等位綫法工作方法和技术	35
第三章 強度法	37
§ 5. 方法的數理基础	37
§ 6. 強度法的仪器和设备	50
§ 7. 強度法野外工作的方法和技术	53
§ 8. 強度法观测結果的解释	58
第四章 低频交流电法勘探的其他变种	69
§ 9. 无限长导綫法	69
§ 10. 电位差比法	76
第五章 感应法	86
§ 11. 感应法的數理基础	86
§ 12. 感应法的野外工作方法和技术	105
§ 13. 感应法的观测結果的解释	119
第六章 高频交流电法勘探的其他变种	140
§ 14. 阴影法	140
§ 15. 干涉法、圆波法和无线电波法	149

緒論

電法勘探下冊中將描述交流電法。象在上冊那樣，開始探討的是岩石礦石和礦物在交變電磁場中的物理性質，而後，按照一定的順序探討一下目前已知的交流電法，其中綫圈法和大地電流法除外。這兩種方法現在用來普查含油構造，並且在 B.H. 达赫諾夫●的教科書中描述得相當詳細。探討方法的順序象表 1 中排列出的那樣，並且，主要的將討論現在在實踐中廣泛應用的三種方法：等位綫法，強度法和感應法。

我們現在簡短地講一下表 1 中所列出的每一種方法的物理實質。

交流等位綫法從其工作方法上看，和第一篇探討的直流等電位綫法沒有多大區別。不過，利用交流電就要求採用特種的儀器和裝備，此外，方法的理論要複雜一些。

普查和勘探金屬礦所用的交流電法分類表

表 1

低頻率法 (小於1000赫茲)	高頻率法 (大於10000赫茲)
等位綫法	感應法
強度法	影子法
無限長導線法	干涉法
電位差比法	射線法
	回波法

強度法：低頻交流電通過兩個點電極輸入地下，用絕緣導線將這兩個點電極和發電機聯結起來，導線布置在正方形的邊上，象圖 1 上指出的那樣。在正方形 $ADCBC'D'$ 范圍內的地面上測量地下和聯結導

●B.H. 达赫諾夫石油與天然氣產地電法勘探，上下冊，地質出版社翻譯出版，1956 年。

綫中流过的电流所造成的磁场的各个分量（矢量）。测量是用框形天綫和真空管伏特計組成的裝置来进行。当在所探测正方形范围内存在有任一目的物（例如，良导性金属矿体），它使得地下的电流重新分布，于是，根据地面上磁场畸变就可能将其发现出来。

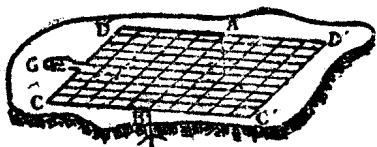


图 1. 强度法的供电装置和
测网布置草图

金属矿体，则在流过导线电流的磁场作用下，在金属矿体中感应生出二次电流。这一电流的磁场使一次磁场发生畸变，因此矿体有可能被发现。

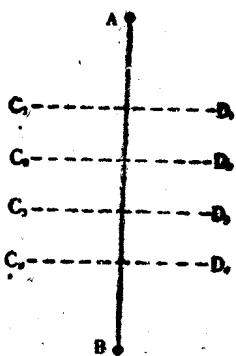


图 2. 无限长导线法測量草图

用图 3 上表出的裝置进行电位差比值的测量。在均匀电場中电位差之比等于 1。当电場的性質发生异常的畸变时，电位差比值在一定程度上不等于 1。原則上，电位差比法可以用直流电来进行，在許多情况下，在实践中也是这样做的。

为了对异常有一比較全面的了解，在应用交流电时，最好在测量电位差比的同时，还进行 M 和 N 点上电場强度矢量間相位移的测量。

无限长导线法：低頻交流电流过地面上布置的长直导线。在导线的中部，沿着垂直于导线的測线上（图2），用类似于强度法的裝置測量磁场的水平分量。如果平行导线在地下某一深度埋藏有良导性的脉状

电位差比法：此法的实质如下。低頻交流电通过两个点或綫电极輸入地下。在地面上，在电极間

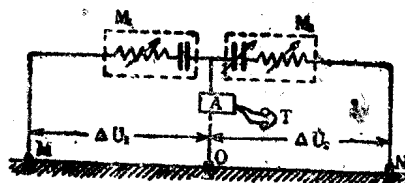


图 3. 电位差比法測量草图

电位差比法的一种变种就是所謂双框法。这种方法的不同点就在于此时在M和N点放着两个接收线框，在磁场的作用下框中感生电动势。于是，在該情况下可比較M和N点上磁场的要素的振幅和相位。

感应法。 感应法用的装置原理图示于图 4 上。在借助于特种的振盪器在振盪框 A 四周造成的高频（約几万赫茲）交变磁场作用下，在良导性金属矿体 C 中激发出电流。于是，在矿体周围造成相同频率的二次磁场，此磁场和一次磁场迭加在一起。在离开振盪框的某一距离上用框型天线和真空管伏特計（或简单的放大器）組成的裝置进行总磁场的測量。用一些特殊法可在観测过程中或在整理过程中消除一次磁场的影响，从而区分出为地質体所产生的异常来。

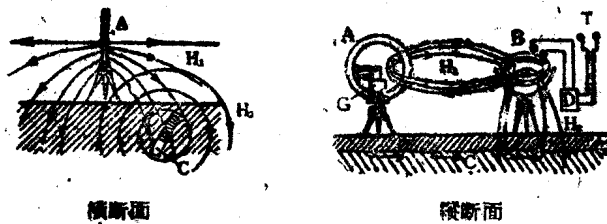


图 4. 感应法探测草图

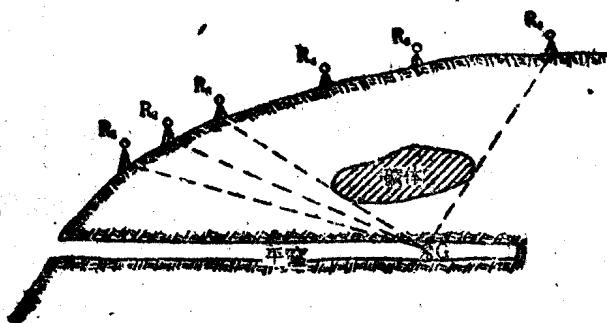


图 5. 阴影法草图

阴影法。 这一方法是基于高导电率地質体吸收电磁能的原理。阴影法裝置的原理图如图 5 上所示。从图上可以看出，阴影法的应用只

有当金属矿体位于发射器和接收器之间时才有可能。这一情况只在有地下坑道或鑽井的勘探地段中才可能有，所以，此方法应用于矿床勘探阶段以发现漏掉矿体或其他良导性物体。应用频率为几兆赫兹（波长为50—200米）的电磁振盪时阴影法得到最明显的結果。

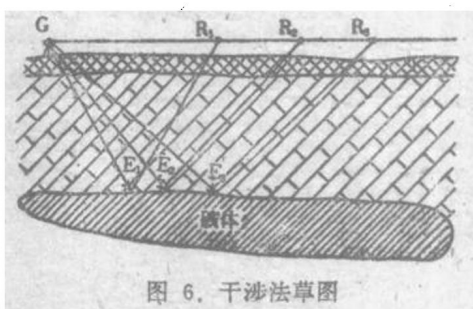


图 6. 干涉法草图

干涉法：干涉法装置的线路图示于图 6 上。在 G 点装置一个高频率电磁振动发生器。在离开发生器某一距离的 R_1 、 R_2 和其他点上测量电磁场的强度。如果地表下某一深处有着反射电磁波的平界面，那么在测点上，由于直射波和反射波干涉可观测到接收强度的加大或减弱，知道了最大接收强度和最小强度点接收器的位置和波长，用比较简单的计算就可确定良导性反射层的埋藏深度。

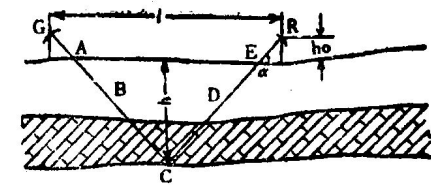


图 7. 射线法草图

射线法：也基于电磁能从良导性物体表面的反射現象。射线法的装置如图 7 所示。和干涉法不同的是此法送入地里定向的电磁波。反射波的出射位置用特制的接收仪器来測定。

知道振盪器和接收器的距离，以及电磁波的入射角和出射角，就很容易計算出反射面埋藏的深度。

回波法也基于反射的現象，但它和上述干涉法和射线法不同，这里

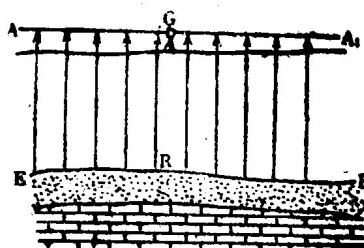


图 8. 回波法草图

反射波由自己的发射机接收（图8）。为着测定反射面的埋藏的深度，或者改变地上天线位置的高度，或者改变波长。知道和天线辐射强度的减弱或增大时相应的波长，就可以容易地确定反射界面的埋藏深度。

除了以上列举的一些交流电法以外，还有好多方法及变种，而它们的实用价值到现在还没有弄清楚。以后我们将简略地叙述这些方法及变种。然而这里应该指出：交流电法方法的繁多是由于在这种情况下它比应用直流电有更多的激励矿体的方法和更多的研究电磁场的方法。

在结语时，要讨论一下交流电法比直流电法的一些优缺点。应该指出，所指出的一些优点目前还只有理论的性质，因为在实践中它们还没有获得充分的证明。

首先，应该指出感应激励矿体的可能性，也就是无需通过接地电极把电流通到地里（某些低频率的交流电法和所有高频率方法）。当表面层有着十分大的电阻率时（岩石露头，粗屑的山麓堆积，干沙，雪，冻土等），这一优点有很大意义。在这种条件下，要装置良好的接地，将碰到很大的困难。大多数的交流电方法在接收线上也不需要接地装置，这就使得测量装置更灵便，并使我们能在上述的条件里进行测量。

第二，在理论上应用不同频率的交流电法应该可以扩大电法勘探范围，因为，可以假定：异常的特点在某种程度上决定于激励场的频率。目前对这一问题研究得还很少，但是一些地球物理学家都趋向于承认这一优点为最主要优点之一。例如，根据A.Г.塔尔霍夫[●]的意见，在金属矿体上采用高频率的电法勘探方法使我们可以发现浸染和斑状矿体，而它们却是直流电法所不能探到的。据A.Г.塔尔霍夫的意见，在利用高频电场时，在好些场合是由于出现电容的位移电流，

● A.Г.塔尔霍夫感应法地球物理勘探 Госгеолтехиздат.

使浸染矿体和斑状矿体的导电率大大增加。根据 Д.Н. 沙赫苏罗夫① 的意见，在进行电测深时采用低频交流电代替直流电时可以大大缩小等值原理的影响，因而提高测定所研究构造的电性剖面的可靠程度。研究低频率交流垂向电测深的方法已超出本课程的范围，这里，列举这一实例，仅在于说明在利用不同频率的交流电时可以扩大电法勘探方法的可能性。

第三，在利用交流电法时，不仅可以研究电磁场强度向量的振幅值，而且可以研究它的相位。这自然扩大电法勘探的可能性，因为在好些场合里场的相位特点可以清楚地反映出一些地质体的位置。应该指出：直到最近对电法勘探中相位测量都注意得不够。不论在理论或在实践上，这一问题都还研究得很少。

最后，可以指出能够制出灵敏度极高的接收仪器也是交流法的一个优点，这样，在好些场合里就可以大大缩小供电装置的功率。

和直流电法相比，交流电法最主要的缺点如下：

第一，绝大多数情况下，交流电法勘探的深度要比直流电法小。特别在有良导电的浮土时更显著，因为这时集肤效应和电磁能量吸收特别强烈。自然，随着频率的增大勘探深度将逐渐减小，所以甚至在最有利的条件下高频率法（例如感应法）只适用于作深度不超过100米的探测，甚至它们的勘探深度常常不超过20—30米。

第二，交流电法的理论比直流电法的要复杂得多。这一情况使解释野外勘探所得的结果显得十分困难。在绝大多数场合里或者限于纯粹的定性解释，或者利用基于分析直流电的电场和磁场的一些方法。

比较次要的，但是在好些场合里成为交流电法的十分严重缺点的是相当复杂的仪器和野外观测方法。这就要求野外地球物理工作队的

● Д. Н. 沙赫罗夫 在偶极测深时电磁场观测结果的解释方法。 Известия
А. Н. СССР. Серия геофизическая № 5, 1956.

成員要有十分高的技术水平。

值得指出的是近几年来在加拿大在伦特别尔格 (Лундберг) 領導下拟定用交流电的航空电法勘探方法。根据杂志的記載^①，在加拿大已經制出了一种用以同时进行航空磁測、航空伽馬測量和航空电測的联合装置。在其他一些文章^②里，指出用航空电法勘探仪器在普查硫化物矿床时得到的巨大成績，以及这一方法的远大前景。可惜的是几乎所有刊載文章都带有夸大事实的性質，所以根据这些文章来估計这一方法的真正的优点和缺点是十分困难的。在苏联目前也进行航空电法勘探法的實驗工作，但是还没有得到实际結果。根据大面积地面电法勘探工作的經驗来看，我們覺得，航空电法勘探方法用于矿区的地質填图比用于直接普查金属矿床更有利。航空电法勘探方法所依据的原理将在本課程結束时简单地加以叙述。

①Fling geophysical laboratory Enginiering. 1-55. V 179. N 4600. P 619.

②H. M. Mooney Geophysics and geochemistry wave ahead in 1954. Mining Enginiering. 1955. V 7. N 3. P 251-253.

L. W. Moorley Airborne geophysics in Canada. Canadian Mining. Januray 1955. V. 76. N. 12. P. 43-46.

第一章 交变电磁場中矿物、 岩石和矿石的电性

众所周知，电磁場在导电介质中分布的性质决定于电阻率 (σ)、介电常数 (ϵ) 和导磁系数 (μ) 三个参数，后两个只在利用高频率电流才起着显著的作用。不仅如此，因为对绝大多数的岩石和矿石（磁铁矿除外）来说，导磁系数和一相差无几，所以在交流的电法勘探中可以忽略不计这个参数的影响。至于介电常数的影响可以这样来谈一下。从场论①可以知道，半导体和介电体中总电流是由传导电流和位移电流两部分所组成的。总电流的密度和传导电流及位移电流的密度间有着以下的关系式：

$$\vec{i} = \vec{i}_{\text{传导}} + \vec{i}_{\text{位移}} = \sigma \cdot \vec{E} + \frac{\epsilon \omega}{4\pi} \cdot \frac{\partial \vec{E}}{\partial t} \quad (1)$$

电流如果按正弦曲线来变化则公式 (1) 具有下面的形式：

$$\vec{i} = i_{\text{传导}} + i_{\text{位移}} = \sigma E_0 \sin \omega t + \frac{\epsilon \omega}{4\pi} E_0 \cos \omega t. \quad (2)$$

由此可得出，第一，位移电流和传导电流的相位差为 $\frac{\pi}{2}$ ，第二，这些电流最大的幅值分别等于：

$$i_{\text{传导}} = \sigma \cdot E_0, \quad i_{\text{位移}} = \frac{\epsilon \omega}{4\pi} \cdot E_0. \quad (3)$$

式中 σ 是绝对静电单位制 (CGSE) 中介质的导电率。

ω 是圆频率。

① И. Е. 泰勒——电学原理，国立技术理论书籍出版社，1954年。

E 是絕對靜電單位制 (GGSE) 中介質的介電常數。

為了從介質中交流電分布的觀點來說明介質的特性，可利用 $i_{\text{傳導}}$ 和 $i_{\text{位移}}$ 幅值之比。這個比值叫做介質的電磁系数，并有着以下的形式：

$$K = \frac{i_{\text{傳導}}}{i_{\text{位移}}} = \frac{\sigma \cdot 4\pi}{\epsilon \omega} \quad (4)$$

換成實用單位制，以振動頻率代替圓頻率，即將下式 (5)

$$\sigma = \frac{9 \cdot 10^9}{\rho}, \quad \omega = 2\pi f \quad (5)$$

代入公式 (4)。上式中 ρ 是電阻率（以歐姆米計）， f 是一秒鐘內周期的頻率。於是，我們得到：

$$K = \frac{1.8 \cdot 10^{10}}{f \cdot \epsilon \cdot \rho} \quad (6)$$

當 $K >> 1$ (即 $i_{\text{傳導}} >> i_{\text{位移}}$) 時，可將所研究的介質當成導體一樣，即不考慮其有介電性。當 $K << 1$ (即 $i_{\text{傳導}} << i_{\text{位移}}$) 時，則相反，即當 $\sigma = 0$ (或 $\rho = \infty$)，亦即認為介質是一種典型的介電質。我們稍為超前一些，先指出，在大多數情況下岩石和礦石的介電常數值不超出 $50 > \epsilon > 5$ 的範圍。利用這些值，我們可以算出，在 ρ 和 f 為何值時介質是一個導體 ($K > 10$)，以及當 ρ 和 f 為何值時，介質又是一個介電質 ($K < 0.1$)。計算的結果示於圖 9 上。從圖上可以知道，當用低頻率 ($f < 10^3$ 赫茲) 电流時，在 $\rho < 10^5$ 歐姆米的條件下我們可以忽略不計介電常數的影響。因此在自然界的條件下岩石的電阻率決不會超過這個值，所以，由此可以知道，在利用低頻率的交流電法（等電線法和強度法等），可以不考慮位移電流的影響，即認為 $\epsilon = 0$ 。在感應法中，當圍岩電阻率 ρ 小於 1000 歐姆米時可以不考慮 ϵ 的影響，這在自然條件下是經常遇見的。

由此可見，位移電流的影響只是在用頻率超過 10^3 赫茲的交流電法，如陰影法、干涉法和射線法等時才有必要加以考慮。但必須指

出，以上的全部討論只有当岩石的电阻率及介电常数和电磁場的頻率无关的条件下才是正确的。場的頻率对这些参数的影响将在以后討論。

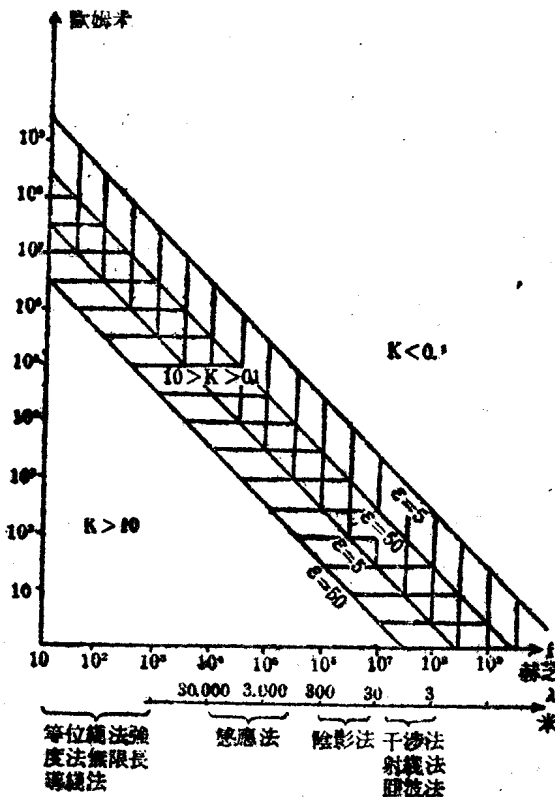


图 9

§1. 矿物的电阻率和介电常数

当通过直流通电时，矿物和水的电阻率曾在上册中詳細討論过，所以重講這個問題沒有必要。仅提一下，絕大多数造岩矿物具有极高的

电阻率（約达 10^6 欧姆米和更高），大多数良导性的硫化矿物 $\rho < 1$ 欧姆米。而水的电阻率基本上决定于水中溶解盐分的含量，并可从几十之几欧姆米变化到 1000 欧姆米。

矿物的介电性質研究得相当完美，因为这个問題对无线电技术有着很大的意义。在表 2 中举出某些矿物的 ϵ 值①。

表 2

順序號	礦物	ϵ	順序號	礦物	ϵ
1	普通輝石	6.9—10.3	16	白云母	6.2—8.0
2	硬石	5.7—6.3	17	黑云母	6.2—9.3
3	鋸灰岩	50—74	18	金紅石	31—170(?)
4	矽灰石	7.4—10.5	19	長鉀長石	4.5—6.2
5	重新石	7.0—12.2	20	鐵礦	4.8
6	綠色鉛	5.5—7.8	21	鋅閃電石	7.4
7	方鐵	17.9	22	氣雲母	7.8
8	赤鐵	25.0	23	金雲母	5.6—7.1
9	石膏	5.0—11.6	24	白雲母	5.9—6.5
10	白云岩	6.8—8.5	25	白鐵	6.8
11	方岩解石	7.8—9.5	26	鑑石	19.6—25.4
12	岩鹽		27	石油	8.6—12.0
13	錫石	5.7—6.2	28	水	2.0—2.7
14	剛玉	4.2—5.0	29		80
15		11.0—13.2			

表中列出的个别矿物 ϵ 值的变化既决定于晶体中不同混入物的参与，又决定于晶体中有否各向异性。在各向异性的晶体中沿不同轴的 ϵ 值之间有显著的差别。尽管这样，但大多数造石矿物 ϵ 值的级次保持得相当好。几乎全部非金属矿物的 ϵ 值皆在 4—13 之间。特別的是金属矿物的介电常数通常较高，在 17 到 74 (?) 的范围内变化着。

現在我們簡短地討論一下电流频率对矿物和水的导电率和介电常

①表的編成根据以下的資料：

1. Берг Фр. Шерер. Дж. — 地質学家用物理常数手册. Издатель. 1949年.

2. 物理工作者手册 第一卷 ОНТИ. 1934年。

数的影响問題。对造岩矿物和金属矿物來說，这个問題研究得不十分完全，可是根据現有的資料可以認為，絕大多数矿物的 ρ 和 ϵ 的分散性一直当頻率达 10^7 赫茲时（波长达个十米）还是微乎其微。至于水，这个問題已經研究得十分全面，大家知道，有非常严整的电解質的理論，其中說明了溶液的 ρ 和 ϵ 的分散性与电流頻率的关系，并且还导出了用来計算的相应公式。在聶斯捷洛夫等著的“电法勘探教程”（1938年）或其他專門的論文❶中可找到对此理論的簡短描述。我們不詳細地来叙述这一理論，只指出其中主要的結論。根据这一理論，溶液电阻率应随着電場頻率的增加而减小，并且这种减小对浓度較小的溶液較为明显。例如，聶斯捷洛夫❷算出，浓度为 $0.001N$ 硫酸镁($MgSO_4$)溶液的电阻率的减小与直流电的相比为：

当波长 $\lambda=10$ 米时，1.47%，

当波长 $\lambda=100$ 米时，0.74%

当波长 $\lambda=1000$ 米时，0.02%

至于电阻率約为100 欧姆米，相当于浓度 $0.001N$ 食盐溶液的河水，其电阻率在波长 $\lambda=100$ 米时减小0.1%。由此十分明显，水 ρ 的頻率分散現象只当用很短的波（ $\lambda << 10$ 米）工作时才有意义。

至于电解質 ϵ 的頻率分散性，也可觀察到类似的情况：

1. 随着頻率增加可觀測到电解質介电常数减小；
2. 随着电解質浓度的减小， ϵ 的分散現象在更低的頻率时就开始了；
3. 在波长 $\lambda=100$ 米时电解質 ϵ 的变化不超过1%。

換句話說，水 ϵ 的頻率分散性也是只有当用 $\lambda << 10$ 米的十分短的波工作时才有意义。

討論电解質的 ϵ 与溶解盐浓度及温度之間的关系也同样有趣味

❶ Фальненгаген — Электролиты. ОНТИ 1935年。

❷ Л. Я. 聶斯捷洛夫 и другие Курс электроразведки 1938年。